

Vysoká Škola strojní a textilní v Liberci

Nositelka Řádu práce

Fakulta strojní

Ohor 23-34-8

výrobní stroje a zařízení

textilní stroje

Katedra textilních strojů

DYNAMIKA SOUSTAVY SVÍRKY - OSNOVA NA TKACÍM STROJI

Autor: Jiří ČÍFKA

Vedoucí práce: Ing. Jiří Mrázek, CSc

Konzultant: Ing. Karel Wolf - SVUT Liberec

Rozsah práce:

Počet stran: 35

Počet tabulek: 0

Počet obrázků: 7

Počet grafů: 6

Počet příloh: 1

V Liberci 22.5. 1981

Vysoká škola: strojní a textilní

Katedra: textilních a oděvních strojů

Fakulta: strojní

Skolní rok: 1980/81

DIPLOMOVÝ ÚKOL

pro Jiřího Cífku

obor 23-34-8 Výrobní stroje a zařízení

Protože jste splnil všechny požadavky učebního plánu, zadává Vám vedoucí katedry ve smyslu směrnic ministerstva školství a kultury o státních závěrečných zkouškách tento diplomový úkol:

Název tématu: Dynamika soustavy svírka-osnova na tkacím stroji

Pokyny pro výpracování:

- 1) Prostudujte vnější vlivy na chování svírky listového stroje
- 2) Sestavte model soustavy svírka-osnova
- 3) Konfrontujte získané teoretické výsledky se skutečností na tkacím stavu.

Autorské právo: Jiřího Cífka
Rok studia: 3. ročník
Fakulta: Strojní
Obor: Výrobní stroje a zařízení
Vyučující: Mgr. Ing. J. Šimáček

Vysoká škola: Strojní a textilní
Fakulta: Strojní
Obor: Výrobní stroje a zařízení
Vyučující: Mgr. Ing. J. Šimáček
Úřední číslo: 46117

Rozsah grafických laboratorních prací: **Předložte grafické průběhy získaných závislostí**

Rozsah průvodní zprávy: **15 - 20 stran**

Seznam odborné literatury:

Kafka, K.: Rozbor svírkových systémů osnovních regulátorů.
Diplomová práce Liberec 1980.
Püst, Lada.: Průžné ukládání strojů. SNTL, Praha 1965

Vedoucí diplomové práce: **Ing. Jiří Mrázek, CSc**

Konsultanti: **Ing. Karel Wolf SVÚT Liberec**

Datum zahájení diplomové práce: **6.X.1980**

Datum odevzdání diplomové práce: **22.V.1981**

L. S.

Doc. Ing. Jaroslav Charvát, CSc

Vedoucí katedry

Doc. RNDr. Bohuslav Stříž, CSc

Děkan

v **Liberci**

dne

6.X.

19 80

Místopřísežně prohlašuji, že jsem diplomovou práci
vypracoval samostatně s použitím uvedené literatury.

v Liberci 22.9.1981

Jiří Cífká

Jiří Cífká

MATEMATICKÝ MODEL DYNAMICKEJ SOUSTAVY SVŮRKA - OSNOVA

VŠST Liberec

Jiří Cífka

22. 5. 1981

ANOTACE

Cílem této diplomové práce bylo vytvoření matematického modelu dynamické soustavy svůrka - osnova na tkacím stroji a jeho ověření. Jedná se o jeden ze způsobů, kterým je možno řešit dynamické poměry na tkacím stroji.

Na tomto místě bych chtěl poděkovat konzultantovi s. ing. Karlu Wolfovi za poskytnutí cenných rad a ochotu, s jakou mi poradil při řešení mé diplomové práce.

Taktéž bych chtěl poděkovat vedoucímu mého diplomového úkolu s. ing. Jiřímu Mrázkovi, Csc za jeho podnětré návrhy k řešení některých partií mé diplomové práce.

B S A H

1. ÚVOD
2. SVŮRKA - ČIDLO OSNOVNÍHO REGULÁTORU
 - 2.1 Osnovní regulátory
 - 2.1.1 Provedení svůrkového systému osnovního regulátoru
- 2.2 Svůrka
- 2.2.1 Činnost svůrky
3. SESTAVENÍ MATEMATICKÉHO MODELU DYNAMICKE
SOUSTAVY SVŮRKA - OSNOVA
 - 3.1 Sestavení pohybové rovnice dané soustavy
 - 3.2 Určení celkové potenciální energie
 - 3.2.1 Výpočet U_p
 - 3.2.2 Výpočet U_t
 - 3.2.3 Výpočet U_m
 - 3.2.4 Výpočet U_o
 - 3.3 Určení celkové kinetické energie
 - 3.4 Matematický model dynamické soustavy svůrka-osnova
4. OVĚŘENÍ MATEMATICKÉHO MODELU SOUSTAVY
SVŮRKA + OSNOVA NA TKACÍM STAVU
5. ZÁVĚR

1. ÚVOD

Tkanina je jedním z textilních útvarů, který vykazuje vlastnosti, jež není možné dosáhnout jinou technikou výroby. Jsou to hlavně pružnost ve směru osnovy a útku, variabilnost hustoty vazeb a barev, kterou lze zajistit bez nákladné přestavby stroje. Dík těmto vlastnostem je podíl tkanin téměř 80 % z celé výroby textilií.

Potřebné množství nebylo možné vyrobit klasickou technikou. Proto byly vyvinuty a zavedeny do výroby bezčlunkové tkací stroje, jejichž podíl na produkci tkanin stále roste. V současné době je na světovém trhu více než 40 různých provedení bezčlunkových tkacích strojů v různých modifikacích.

Technika tkání je v neustálém vývoji, a proto stroje méně výkonné, provozně méně spolehlivé nebo nehospodárné jsou postupně vytlačovány stroji vysoké technické úrovni. Zvyšují se rychlosti, ručně prováděné úkony se mechanizují, zavádí se elektronické řízení stavů a projektují se nové a progresivní metody zanášení útku.

Československo se na tomto rychlém vývoji podílelo podstatnou měrou a jeho textilní strojírenství do značné míry ovlivnilo směr světového vývoje bezčlunkových tkacích strojů. Připomeneme světové prvenství v konstrukci a výrobě vzduchových a vodních tryskových tkacích strojů.

Se zvyšující se produktivitou a spolehlivostí současných tkacích stavů a s rostoucími požadavky na kvalitu tkanin se do popředí dostávají mimo jiné ukázky správné funkce prošlupního, prohozního, odtahovacího

a zejména podávacího ústrojí tkacího stavu. Mechanismy těchto ústrojí jsou stále více namáhány dynamickými silami jednak v důsledku zvyšujících se otáček, vyšších prohozních rychlostí a jednak z hlediska rostoucích šíří tkacích stavů.

Z tohoto důvodu se při konstrukci a provozu moderních tkacích stavů dostává významného postavení v řešení dynamických poměrů jednotlivých uzel stroje. V neposlední řadě je to řešení soustavy svůrka - osnova na tkacím stavu.

2.0 Svůrka - čidlo osnovního regulátoru

K dosažení správného provázání každého útku ve tkání se musí zajistit bezvadný pohyb soustavy osnova - tkanina. Hlavními podmínkami, které je nutno dodržet, je pravidelný odtah tkaniny a dodržení stálého napětí v osnově (zaručuje příslušnou dostavu - hustotu útků na jednotku délky).

Pravidelný odtah tkaniny zajistí zbožový regulátor. Stálé napětí v osnově a její příslušnou dodávku zajistí osnovní regulátor.

2.1 Osnovní regulátory

Ústrojí k popouštění osnovy lze dělit do dvou skupin:

a) pasivní - jedná se o brzdy osnovních válů, které uvolní osnovu, dojde-li v ní ke zvětšenému napětí.

b) aktivní - jedná se o regulátory, které lze dělit na:
1/ negativní - uvolňují osnovu v závislosti na jejím tahu, který v tkací rovině snímá svůrka
2/ pozitivní - uvolňují osnovu nezávisle na jejím tahu.

Ve většině případů se používají negativní osnovní regulátory.

2.1.1 Provedení svůrkového systému osnovního regulátoru

V této kapitole je popsán svůrkový systém, který slouží jako čidlo ke snímání napětí v osnově. Zároveň je zde uvedeno kinematické schema a popis osnovního regulátoru, který tento systém používá.

Osnovní regulátor stroje SULZER a STB Kinematické schema tohoto regulátoru je na straně 11. Napětí osnovy je snímáno svůrkou 3 upevněnou na páce 2 a je vyvážováno pružinami 1, které jsou dvě (po obou stranách stroje).

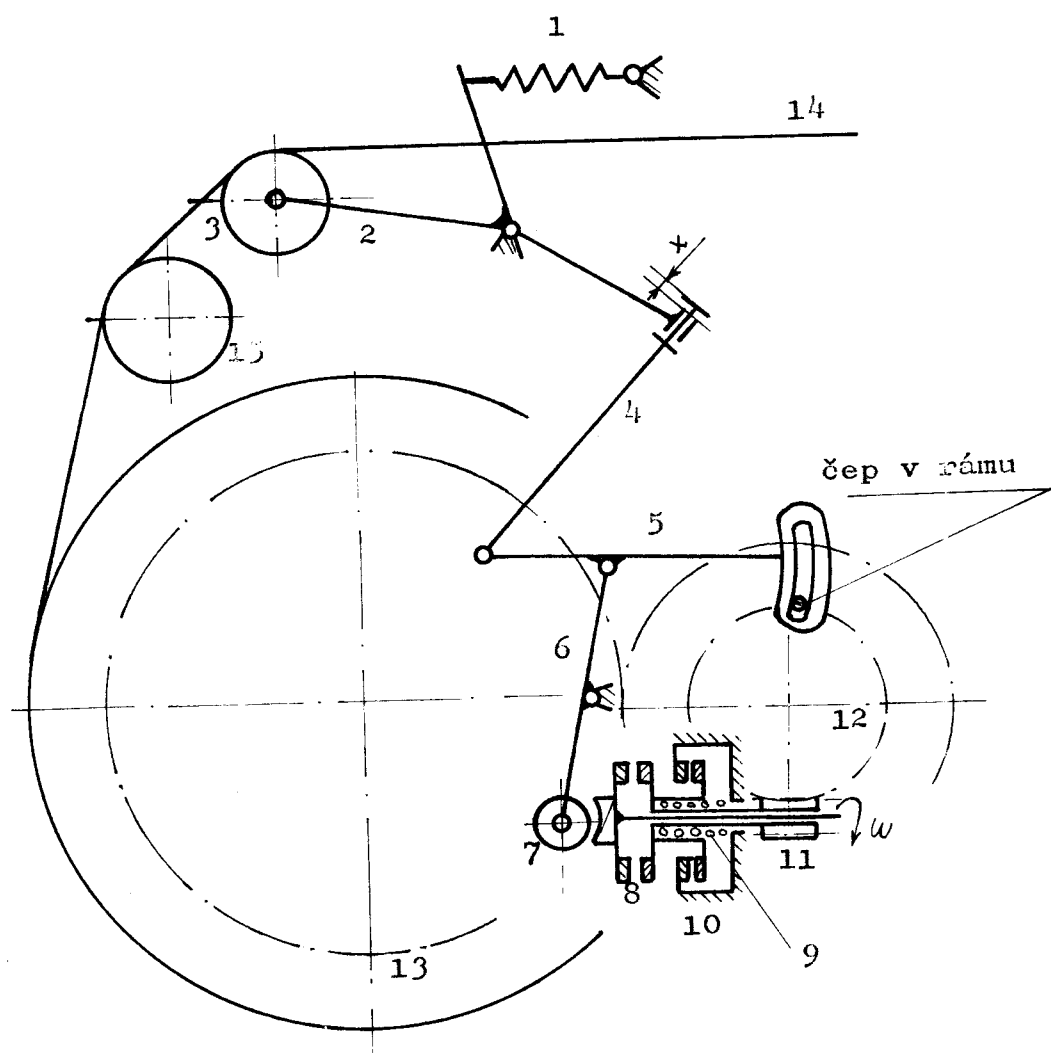
Zvýšení napětí v osnově zapříčiní pokles páky 2 a po vymezení vůle ~~x~~ pootočení pákou 5 přes táhlo 4. Drážka kulisy na páce 5 nemá střed křivosti v bodě A a tím při vychýlení této páky dojde k natočení páky 6 s kladičkou 7. Kladička pak spojí spojku 8 a dojde k pootočení osnovního válku. Spojka 8 je spojena pouze po dobu styku kladičky 7 s profilovanou částí na levé polovině spojky. Dojde-li k natočení spojky 8 tak, jak je naznačeno v kinematickém schématu, spojka se rozpojí a pružina 9 spojí brzdu a tím zastaví otáčení válku 13. Otočná část spojky se volně otáčí až do chvíle, kdy se profilovaná část dostane opět do styku s kladičkou, která stlačí pružinu 9 a celý cyklus se opakuje.

2.2 Svůrka

Svůrka plní na tkacím stroji dvě funkce:

- 1) ovlivňuje napětí osnovy svou polohou a u pohyblivých svůrek i pohybem.

Kinematické schéma regulátoru stroje SULZER a STB



- 1 - pružina
- 2 - páka svůrky
- 3 - svůrka
- 4 - táhlo
- 5 - páka kulisy
- 6 - páka
- 7 - kladíčka
- 8 - spojka

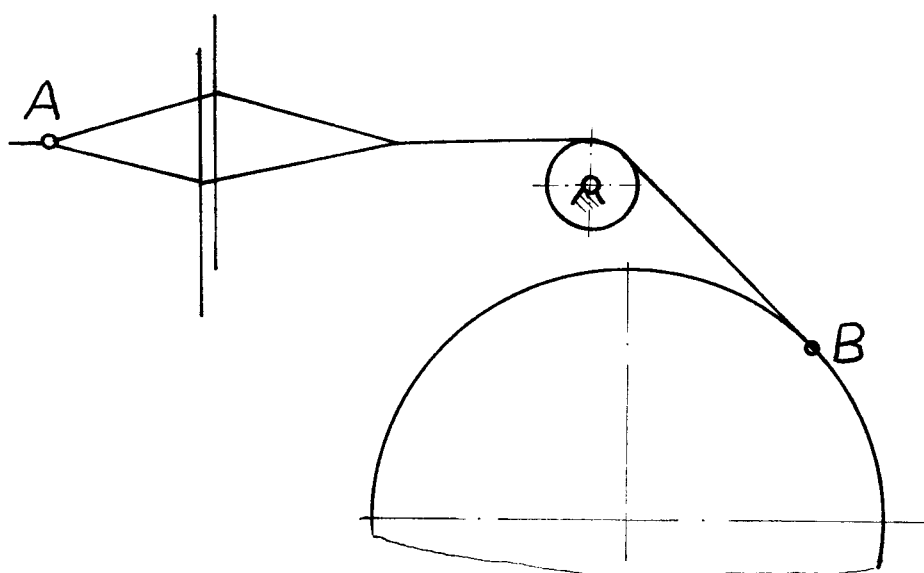
- 9 - pružina brzdy
- 10 - rám
- 11 - šnek
- 12 - šnekové kolo
- 13 - osnovní válec
- 14 - osnova
- 15 - pevný válec

2) kontroluje napětí osnovy během provozu stroje.

Při použití osnovního regulátoru musí být svůrka odpružená, protože její poloha určuje rychlosť otáčení osnovního válce. Svůrky jsou většinou otočně uložené a mohou být jednoválečkové nebo dvouválečkové, na velmi těžkých strojích i víceválečkové.

2.2.1 Činnost svůrky

Při rozvírání prošlupu se délka osnovy mezi body A a B mění. (obr.1).

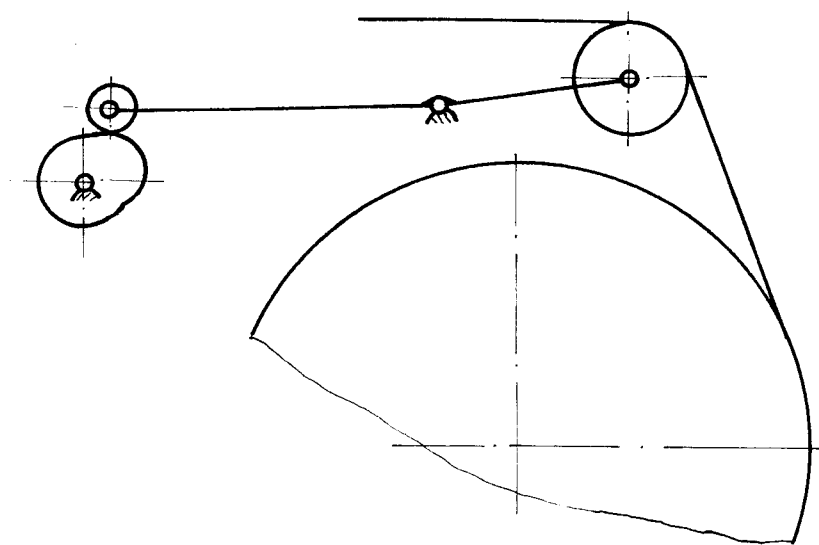


obr. 1

Závislost zdvihu listů je podle časového diagramu I (obr. 4). Bude-li svůrka uložena na nehybném hřídeli, bude teoretický průběh napětí v osnově podle grafu II; vyznačeno čárkovaně. Nejnižší napětí bude v bodě K odpovídajícímu zástupu listů. Protože při přírazu se bod A posune směrem ke tkanině, zvýší se napětí v osnově

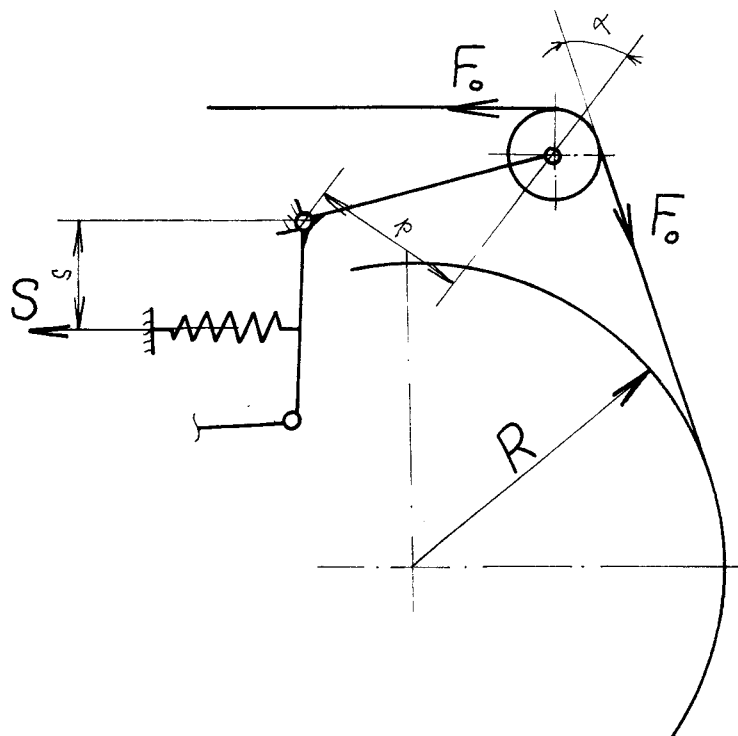
do bodu G.

Použijeme-li nuceně výkyvnou svůrku (obr.2), bude se tato snižovat v závislosti na zdvihu listů podle grafu III a teoretický průběh napětí bude podle grafu IV. Špičky napětí při přírazu ale zůstanou.



obr. 3

Použijeme-li odpruženou svůrku (obr.3), bude teoretický pohyb svírkového válečku podle grafu V. Při přírazu útku se svůrka značně sníží. Po přírazu se zvedne a po dobu klidu listů bude téměř nekibná. Teprve až při zavírání listů se bude opět zvedat, až na hodnotu K'' . Vlivem setrvačnosti svůrky bude maximální hodnota K'' za okamžikem zástupu listů K opožděna.

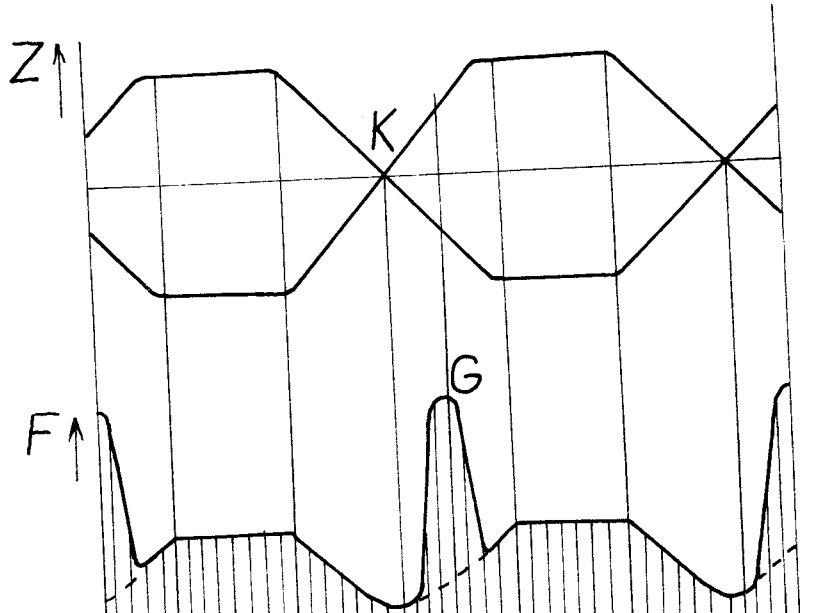


obr. 3

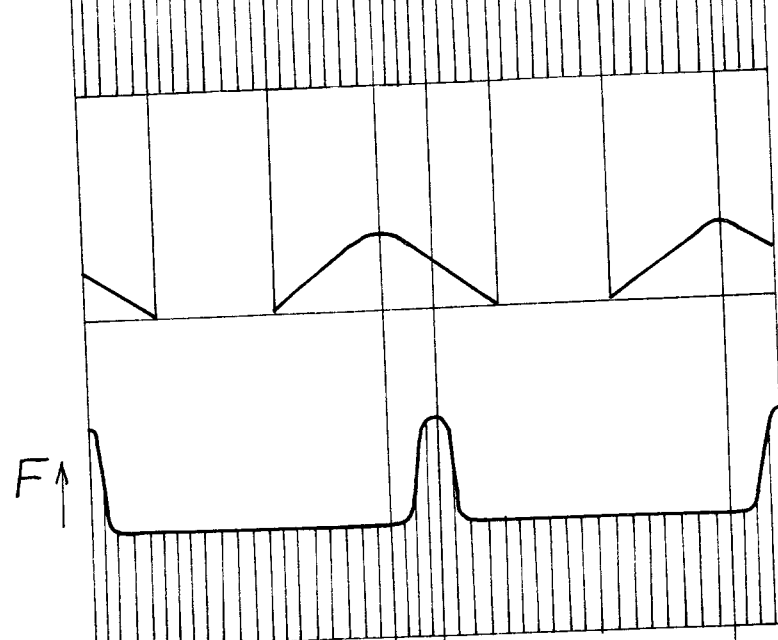
Jako čidlo osnovního regulátoru se používá odpružené svůrky, na níž dle obr. 3 působí dvě složky napětí osnovy F_o a rovnováha je dána rovnicí:

$$S \cdot s = 2 \cdot p \cdot F_o \cdot \cos \alpha$$

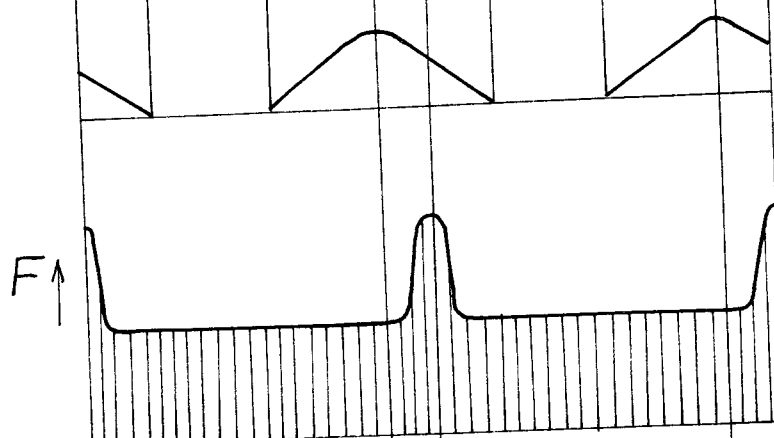
Úhel α a tím i délka p se s ubýváním poloměru R mění. Tím se mění i napětí v osnově. Aby toto napětí bylo stálé, musí přibližně platit: $p \cdot \cos \alpha = \text{konst.}$ Při vhodném uložení svůrky je to splněno a napětí v osnově na malém i velkém průměru válku je stejné.



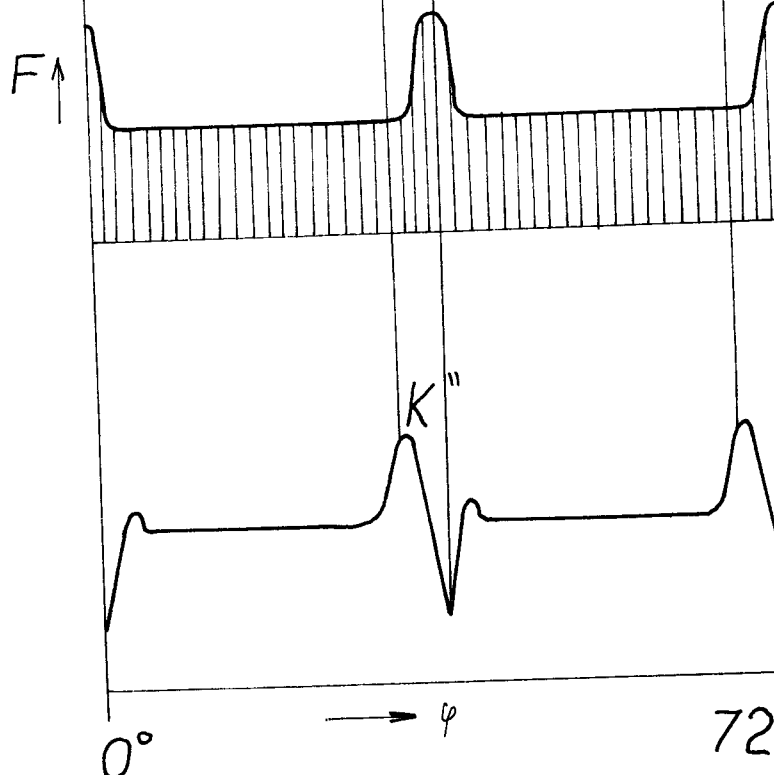
GRAF I.



GRAF II.



GRAF III.



GRAF IV.

obr. 4

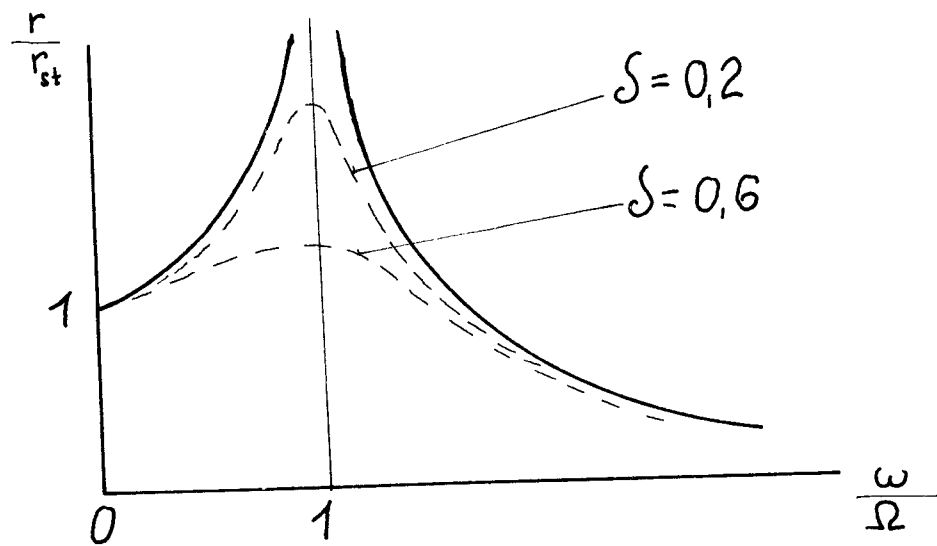
Mezi těmito krajními polohami se napětí osnovy mění a lze určit závislost $F_o = f(R)$ a velikost odchylky F_o od těchto dvou poloh.

Avšak jednoduchou odpruženou svírku je nutno posoudit z hlediska dynamického.

Jako pružně uložené těleso lze pohyb svírky popsat lineární diferenciální rovnici druhého řádu s pravou stranou. Z této rovnice je pak možno vypočítat vlastní frekvenci svírky Ω a porovnat ji s frekvencí stroje ω podle teoretického vztahu

$$\frac{r}{r_{st}} = \frac{1}{1 - \frac{\omega^2}{\Omega^2}}$$

kde r je amplituda kmitavého pohybu a r_{st} je statická výchylka svírky. Uvedená závislost je na obr. 5 vyznačena plnými čarami.



obr. 5

Závislost na obr.5 lze rozdělit na tři části:

1. $\omega < \Omega$ - jedná se o podresonanční oblast, kde těleso kmitá ve fázi s rušivou silou.
2. $\omega = \Omega$ - tento stav, kdy amplituda r roste do nekonečných hodnot, je stavem kritickým a teoreticky dochází k porušení kmitajícího tělesa vlivem resonance.
3. $\omega > \Omega$ - jde o nadresonanční oblast a těleso kmitá v protifázi s rušivou silou.

Chceme-li posoudit, jak kmity svůrky ovlivní proces tkání, je třeba zjistit, do které oblasti 1-3 práce svůrky vyjde. Nastane-li případ 1, bude kmitat svůrka ve fázi s přírazným mechanismem, jehož podíl na vynuceném pohybu svůrky je v okamžiku přírazu zcela převažující. Bude tedy rozhodovat statické napětí osnovy a podle jeho velikosti dosáhneme příslušné dostavy.

Nastane-li případ 2, nevzroste výchylka svůrky do nekonečné hodnoty, protože je zde značné tlumení a závislost r a r_{st} na Ω a ω má tvar:

$$\frac{r}{r_{st}} = \frac{1}{(1 - \frac{\omega^2}{\Omega^2})^2 + (2\zeta\frac{\omega^2}{\Omega^2})^2}$$

kde ζ představuje poměrný útlum. Přesto však r roste do značné velikosti. Tento stav je nejistý i proto, že ζ se během tkání mění.

Nastane-li případ 3, bude svůrka kmitat proti přírazu a tím v okamžiku přírazu bude napětí v osnově maximální. Lze říci, že v tomto případě svůrka příznivě ovlivní dosaženou dostavu.

vedená činnost svůrky je však ve skutečnosti velmi výrazně poznamenaná vlivem mnoha faktorů objevujících se při provozu stroje. Tyto vlivy mohou mít jak náhodný, tak i periodický průběh.

Jelikož se jedná o soustavu pružných členů není možné vhodně popsat jejich tuhost, setrvačné a hmotnostní účinky. Proto musíme provádět redukci na některých členech soustavy, čímž zanášíme do výpočtu určité odchylinky. V průběhu tkání dochází k rázům v mnoha uzlech všech mechanismů, hlavně u mechanismu přírazu. Zde se rázy projeví velmi výraznou změnou napětí osnovy v době přírazu. Tento fakt silně ovlivní kvalitu získané tkaniny, tedy i setkatelnost zboží u jednotlivých strojů. Při analýze procesu tkání nám rázy zapřičiní nedostatky u řešení, hlavně u vyšších harmonických.

Určité chyby se dopustíme při nahrazování existujících nelinearit (vůlí) linearitami, což je pro nás základní požadavek při analytickém řešení.

Nemalý vliv na přesnost matematického modelu má také člověk, který je při jeho přípravě (měření, zpracování měření) zatížen poměrně značnou chybou. Chování svůrkového systému při tkání také ovlivňuje zpracovávaný materiál a jeho kvalita.

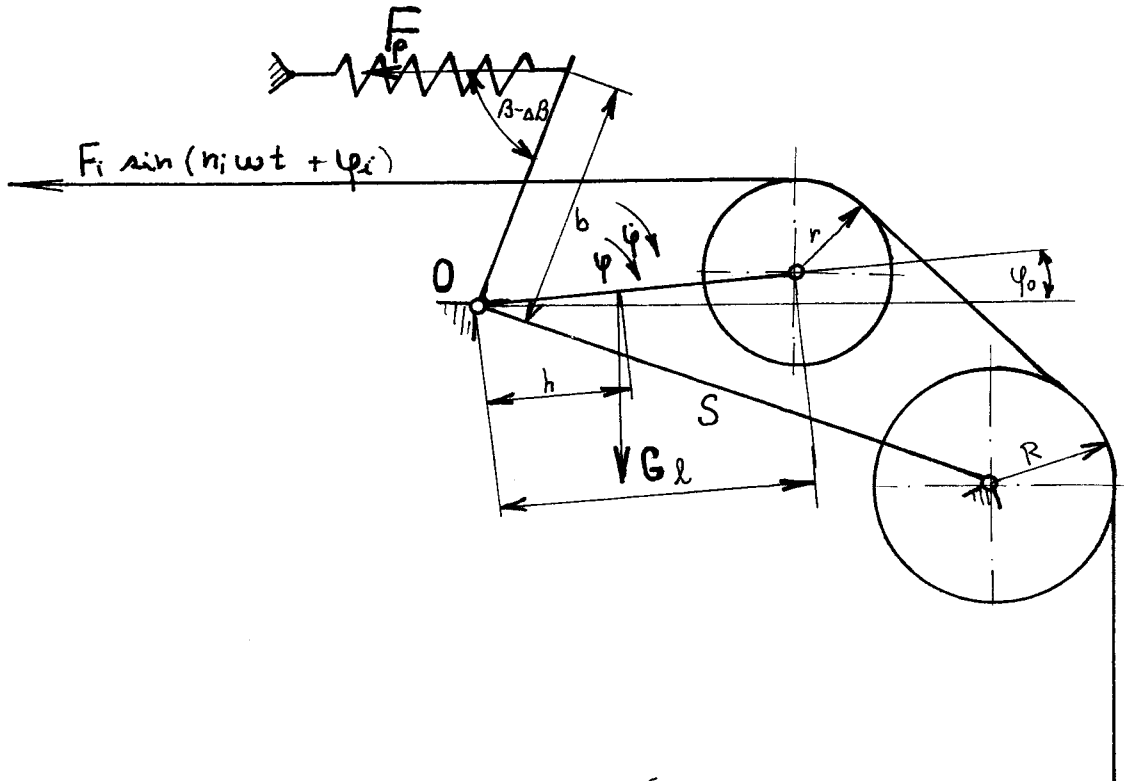
Z těchto všech důvodů je zřejmé, že každý pokus o sestavení matematického modelu reálně existující dynamické soustavy je nesnadný a vždy náročné řešení není nikdy zcela přesné.

3. Sestavení matematického modelu dynamické soustavy svůrka - osnova

Základní problém při sestavování matematického modelu reálně existující soustavy je volba vhodné náhradní soustavy. Přesný matematický popis takové soustavy pružných těles je velmi obtížný a získané rovnice nebo soustavy rovnic jsou buď řešitelné s velkými obtížemi, nebo jsou prakticky neřešitelné. Model dynamické soustavy musí být co nejoptimálnějším kompromisem mezi požadavkem přesnosti řešení a možnostmi výpočetní techniky.

3.1 Sestavení pohybové rovnice soustavy svůrka-osnova

Silové poměry na svůrkovém systému byly zobrazeny na obr. 6.



obr. 6

Vyjádření pohybové rovnice bylo provedeno pomocí dvou skalárních veličin U a K při zavedení všeobecné souřadnice ψ v Lagrangeově rovnici, kterou můžeme napsat ve tvaru:

$$\frac{d}{dt} \left(\frac{\partial K}{\partial \dot{\psi}} \right) - \frac{\partial K}{\partial \psi} = - \frac{\partial U}{\partial \psi} \quad (1)$$

U - celková potenciální energie soustavy

K - celková kinetická energie soustavy

Pro řešení dané dynamické soustavy byly stanoveny tyto zjednodušující předpoklady:

1. Výpočet provádíme pro velmi malé výchylky ψ
2. Neuvažujeme pasivní odpory

3.2 Určení celkové potenciální energie

Celková potenciální energie soustavy se skládá z těchto dílčích potenciálních energií

U_p - potenciální energie momentu pružin soustavy

U_t - potenciální energie tlumicího momentu

U_m - potenciální energie tíhového působení

U_o - potenciální energie vlivem tahu v osnově

Výsledný vztah tedy bude $U = U_p + U_t + U_m + U_o \quad (2)$

Výrazy U_m a U_o dosadíme se záporným znaménkem, protože jejich účinky působí opačně než je předpokládaný směr výchylky ψ , což je zřejmé z obr. 6.

3.2.1 Výpočet U_p

$$U_p = \int_0^\psi M_p(\psi) d\psi \quad (3)$$

Abychom tedy mohli vyjádřit U_p , musíme nejdříve stanovit moment pružin M_p jako funkci φ - úhlu vykývnutí svírky kolem úložného bodu O.

$$M_p = F_p \cdot b \cdot \sin(\beta - \Delta\beta) \quad (4)$$

$$\text{Síla v pružině } F_p = C \cdot x \quad (5)$$

C - tuhost pružiny

$$x - prodloužení pružiny \quad x = b \cdot \sin(\beta - \Delta\beta) \cdot \varphi \quad (6)$$

$$\text{Pro malé výchylky } \Delta\varphi \quad \text{lze psát } \sin(\beta - \Delta\beta) \approx \sin \beta \quad (7)$$

Použitím rovnic (4) - (7) získáme výsledný vztah pro

$$\text{moment pružin} \quad M_p = C \cdot b^2 \sin^2 \beta \cdot \varphi \quad (8)$$

$$\text{potom} \quad U_p = \int_0^\varphi M_p d\varphi = \int_0^\varphi C b^2 \sin^2 \beta \cdot \varphi d\varphi = \frac{1}{2} C b^2 \sin^2 \beta \cdot \varphi^2 \quad (9)$$

3.2.2 Výpočet Ut

$$U_t = \int_0^\varphi M_t \cdot d\varphi \quad (10)$$

$$M_t - tlumící moment daný \quad M_t = K_1 \cdot \dot{\varphi} \quad (11)$$

K_1 - součinitel tlumení, které předpokládáme úměrné rychlosti

$$\dot{\varphi} = \frac{d\varphi}{dt} - rychlosť naklopení svírky$$

Z rovnic (10) a (11) máme výsledný vztah

$$U_t = K_1 \cdot \dot{\varphi} \cdot \varphi \quad (12)$$

3.2.3 Výpočet Um

U_m je dána tíhovým působením celé soustavy a lze ji vypočítat takto:

$$U_m = G \cdot h \cdot \cos \varphi_0 \cdot \varphi \quad (13)$$

$$\text{Pro tíhu } G \text{ můžeme zavést } G = m \cdot g \quad (14)$$

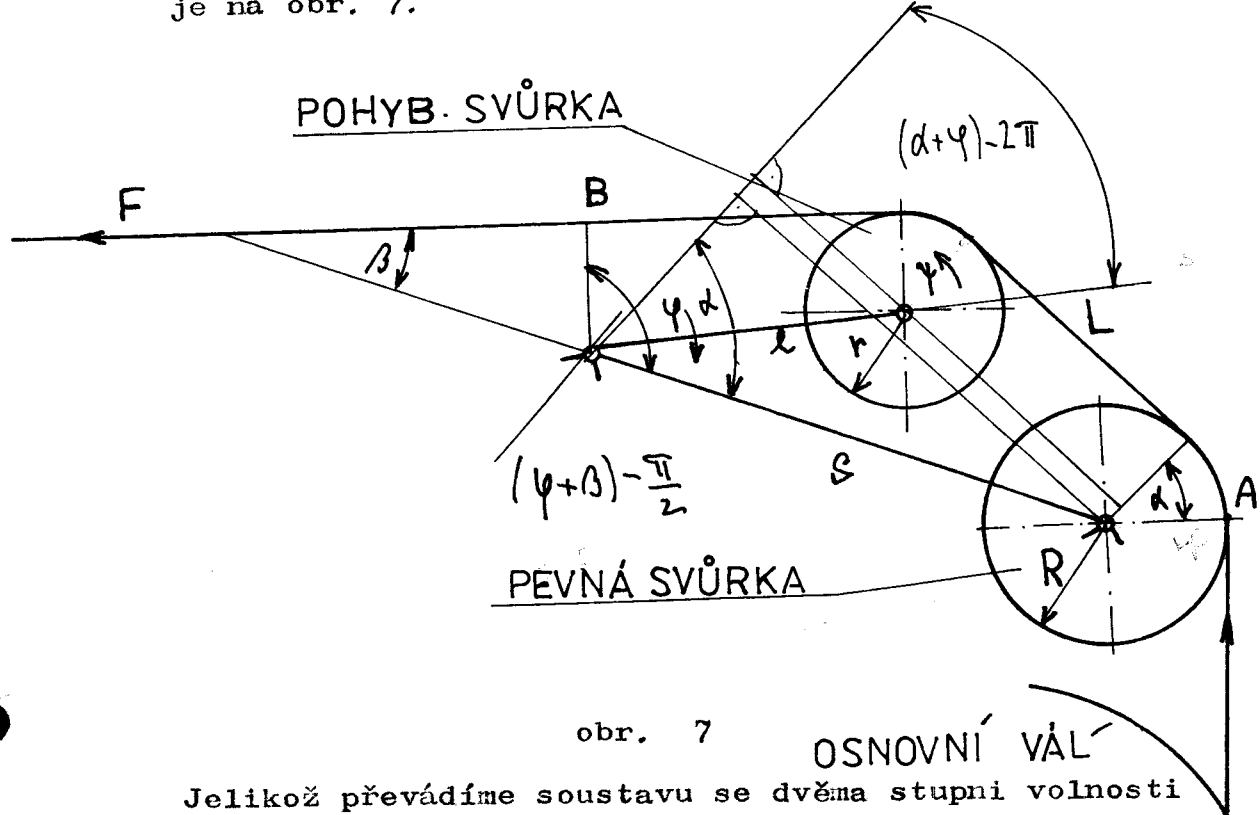
3.2.4 Výpočet U_o

$$U_o = \int_0^x F dx = \int_0^F \frac{\partial L_c}{\partial \varphi} S \cdot d\varphi = F \cdot S \cdot M_1 \cdot \varphi \quad (15)$$

$M_1 = \frac{\partial L_c}{\partial \varphi}$ - součinitel udávající posunutí osnovy při naklopení svárky o určité φ . Byl odvozen v rovnici (25).

$F = \sum_{i=1}^n F_i \sin(n_i w t + \psi_i)$ - polyharmonická budící síla v osnově.

Geometrické uspořádání svárkového systému stroje STB2-330 je na obr. 7.



obr. 7

OSNOVNÍ VÁL'

Jelikož převádíme soustavu se dvěma stupni volnosti na soustavu s jedním stupnem volnosti, bylo dále nutné stanovit převod M_2 . Tento součinitel vyjadřuje poměr úhlu φ - úhlu naklopení svárky kolem otočného bodu 0 k úhlu ψ - úhlu pootočení svárky kolem vlastní osy.

Dle obr. 7 platí pro celou délku osnovy z A do B vztah

$$L_c = \frac{\pi}{180} \alpha \cdot R + L + \frac{\pi}{180} [90 - (\alpha + \beta)] \cdot r + 1 \cdot \cos(\beta + \varphi) \quad (16)$$

protože platí výraz

$$= S \cdot \sin \alpha - 1 \cdot \sin [(\alpha + \varphi) - 180] \quad (17)$$

dále rovnice

$$s \cdot \cos \alpha + (R-r) = 1 \cdot \cos [(\alpha+\varphi)-180] \quad (18)$$

a z ní odvodíme

$$-\left[\cos \alpha + \left(\frac{R-r}{s}\right)\right] = \frac{1}{s} \cos (\alpha + \varphi) \quad (19)$$

po derivaci (19) získáme vztah pro závislost φ na úhlu κ

$$\sin \kappa \frac{\partial \kappa}{\partial \varphi} = -\frac{1}{s} \sin (\alpha + \varphi) \left(1 + \frac{\partial \alpha}{\partial \varphi}\right) \quad (20)$$

z rovnice (20) můžeme určit $\frac{\partial \alpha}{\partial \varphi}$

$$\frac{\partial \alpha}{\partial \varphi} = -\frac{\frac{1}{s}(\cos \varphi + \frac{\sin \varphi}{\operatorname{tg} \kappa})}{1 + \frac{1}{s}(\cos \varphi + \frac{\sin \varphi}{\operatorname{tg} \alpha})} \quad (21)$$

Provedeme-li dále úpravu

$$\begin{aligned} \frac{1}{s} \frac{\partial L_c}{\partial \varphi} &= \frac{\partial \alpha}{\partial \varphi} \left[\frac{\pi}{180} \left(\frac{D-d}{2s} \right) + \cos \kappa + \frac{1}{s} \cos (\alpha + \varphi) \right] + \\ &+ \frac{1}{s} [\cos (\alpha + \varphi) + \sin (\beta + \varphi)] \end{aligned} \quad (22)$$

můžeme již stanovit změnu délky osnov spojenou s vykývnutím svírky podle výrazu

$$dx = \frac{\partial L_c}{\partial \varphi} \cdot d\varphi = r \cdot d\varphi \quad (23)$$

$$\text{a z něho } d\varphi = -\frac{1}{r} \frac{\partial L_c}{\partial \varphi} \cdot d\varphi \quad (24)$$

Po dosazení rozměrů	$D = 164$ mm
	$d = 130$ mm
	$l = 210$ mm
	$s = 360$ mm
	$\alpha = 65^\circ$
	$\varphi = 152^\circ$
	$\beta = 22,5^\circ$

z rovnice (22) získáme hodnotu výrazu $\frac{\partial L_c}{\partial \varphi} = M_1$

$$M_1 = \frac{\partial L_c}{\partial \varphi} = -0,437 \cdot s \quad (25)$$

kterou dosadíme do (24).

Potom se bude výraz d $\dot{\varphi}$ rovnat

$$d\dot{\varphi} = - \frac{0,437 \cdot S}{r} d\varphi \quad (26)$$

$$\text{Z této rovnice získáme vztah} \quad d\dot{\varphi} = - 2,42 d\varphi \quad (27)$$

a tedy $M_2 = - 2,42$

Zavedením vztahů (9), (12), (13) a (15) do rovnice

(2) máme

$$U = \frac{1}{2} \cdot b^2 \sin^2 \beta \dot{\varphi}^2 - m \cdot g \cdot h \cdot \cos \varphi_0 \cdot \dot{\varphi} + k_1 \dot{\varphi} \cdot \ddot{\varphi} - M_2 \sum_i F_i \sin(\omega_i t + \varphi_i) \cdot S \cdot \dot{\varphi} \quad (28)$$

3.3 Určení celkové kinetické energie

$$K = \frac{1}{2} I_R \dot{\varphi}^2 \quad (29)$$

I_R - redukovaný hmotový moment setrvačnosti

Zavedením I_R postihneme rozmístění hmot soustavy a zachytíme vliv setrvačnosti svárky, což je jedním z problémů řešení dané dynamické soustavy.

3.3.1 Stanovení I_R

$$\frac{1}{2} I_R \dot{\varphi}^2 = \frac{1}{2} I_2 \dot{\varphi}^2 + \frac{1}{2} I_1 \dot{\varphi}^2 + \frac{1}{2} m_2 v^2 \quad (30)$$

I_1 - moment setrvačnosti soustavy

I_2 - moment setrvačnosti svárky

m_2 - hmotnost svárky

v - rychlosť svárky $v = l \cdot \dot{\varphi}$ (31)

Rovnici (30) upravíme na

$$I_R = I_2 \frac{\dot{\varphi}^2}{\dot{\varphi}^2} + I_1 + m_2 \cdot l^2 \quad (32)$$

výraz $\frac{\dot{\varphi}^2}{\dot{\varphi}^2} = m_2^2$ byl odvozen v předchozí části.

3.4 Matematický model dynamické soustavy svůrka - osnova na tkacím stavu

Vztahy (28) a (32) použijeme při řešení rovnice (1) a je tedy nutné vyjádřit tyto parciální derivace:

$$\frac{\partial K}{\partial \dot{\varphi}} = 0 \quad (33)$$

$$\frac{\partial K}{\partial \ddot{\varphi}} = (I_2 m_2^2 + I_1 + m_2 \cdot l^2) \cdot \dot{\varphi} \quad (34)$$

$$\frac{d}{dt} \left(\frac{\partial K}{\partial \dot{\varphi}} \right) = (I_2 m_2^2 + I_1 + m_2 \cdot l^2) \ddot{\varphi} \quad (35)$$

$$\begin{aligned} \frac{\partial U}{\partial \dot{\varphi}} &= cb^2 \sin^2 \beta \cdot \dot{\varphi} - m \cdot g \cdot h \cdot \cos \varphi_0 + k_1 \dot{\varphi} - \\ &- S \cdot m_1 \zeta F_i \sin (n_i w t + \varphi_i) \end{aligned} \quad (36)$$

Dosazením vztahů (33) - (35) do rovnice (1) a zavedením konstant $K_2 = cb^2 \sin^2 \beta$ a

$K_3 = m \cdot g \cdot h \cdot \cos \varphi_0$ dostaneme výsledný vztah, který je hledaným matematickým modelem.

$$I_r \ddot{\varphi} + K_1 \dot{\varphi} + K_2 \varphi - K_3 = S \cdot m_1 \sum F_i \sin (n_i w t + \varphi_i)$$

Jedná se o lineární diferenciální rovnici 2. řádu (36) s pravou stranou, která popisuje danou dynamickou soustavu.

4. Ověření matematického modelu soustavy svůrka-osnova na tkacím stavu.

Matematický model byl aplikován na měření provedená měřicí skupinou VVUZVS Brno na strojích SULZER 330 a STB 2-330. V obou případech byl setkáván druh 150 cm RADON, pláštovina z materiálu PESs/M II Čes.

Osnova: materiál PESs/ba MII Čes

textilní příze 12 x 2

dostava režná 49,2

dostava hotová 52,0

Útek: materiál PESs/ba MII Čes

textilní příze 16,5 x 2

dostava režná 18

dostava hotová 18,5

Mimo to byl u obou strojů učiněn pokus dosáhnout mezních útkových dostav pro daný materiál. Stroj SULZER byl osazen vačkami s výdrží 166°, STB s výdrží 280°. Výsledkem měření jsou průběhy zdvihu svůrky a průběhu napětí osnov během jedné otáčky stroje.

Z porovnání je na první pohled zřejmý odlišný chod svůrky u obou strojů. U stroje SULZER je vidět, že svůrka se těsně před přírazem svou setrvačností pohybuje směrem vzhůru, tím způsobí vypnutí osnov v okamžiku přírazu, takže příraz je razantní a tím se dosáhne vysoké setkelnosti i při nízkém středním napětí osnov. U stroje STB svůrka těsně před přírazem již klesá dolů, osnovy jsou v okamžiku přírazu uvolněné a dosažení vyšších dostav činí problémy.

Ověření těchto skutečností bylo cílem vytvoření matematického modelu svůrkového systému. Pro výpočet bylo nutno průběhy napětí osnov i pohybu svůrky digitalizovat a nahradit Fourierovým rozvojem. Digitalizace byla provedena s neekvidistantním krokem, aby se co nejlépe postihly napěťové špičky. Dokonalost approximace Fourierovou řadou byla ověřena zpětnou syntézou. Současně byly na počítači nalezeny konstanty diferenciální rovnice:

$$c_4 \ddot{\varphi} + c_3 \cdot \dot{\varphi} + c_2 \varphi + c_1 = F_t$$

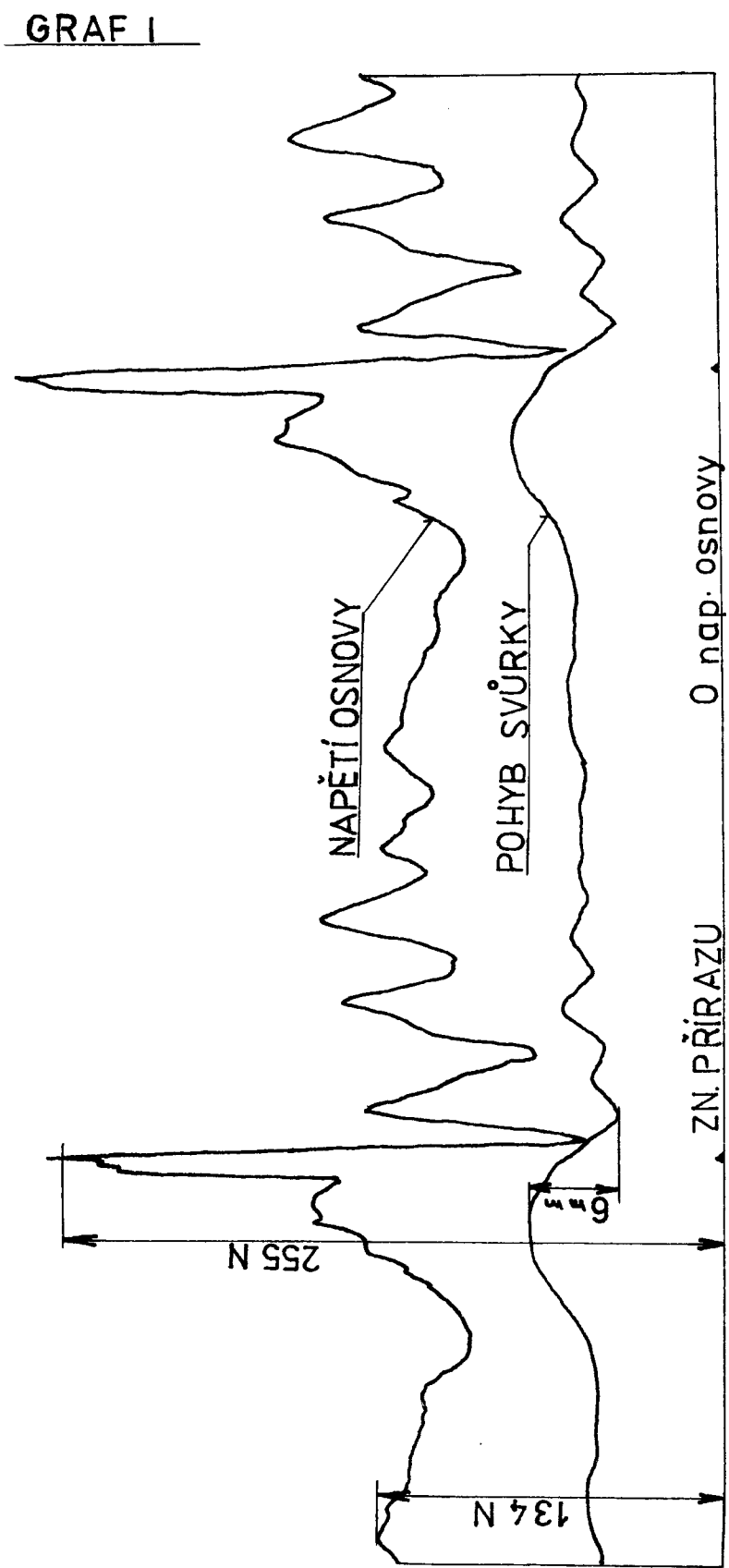
Funkce F_t i úhlový pohyb svůrky φ byly prezentovány ve formě Fourierovy řady

$$F_t = \sum F_i \sin(i\omega t + \varphi_i)$$

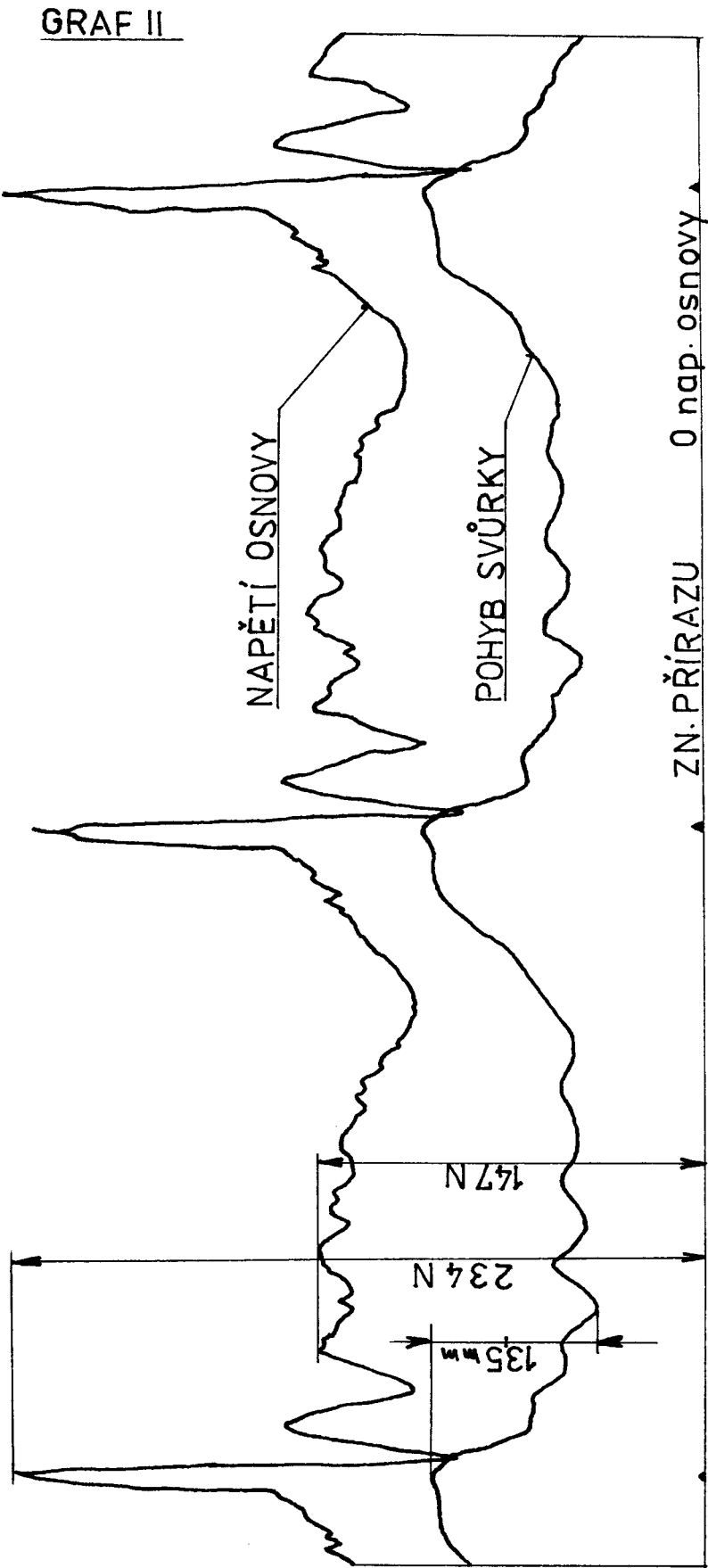
Konstanty $c_1 - c_4$ byly vypočteny při zahrnutí 2 - 24 harmonických.

Je vidět, že přibližně od deseti harmonických se již mění velmi málo. Protože se jedná o předurčenou soustavu rovnic byly určeny na počítači metodou nejmenších čtverců.

STAV STB2-330, n=192 1/min, SVŮRKÁ BRZDĚNÁ - PRUŽINA V POL. II
dostava = 17/cm

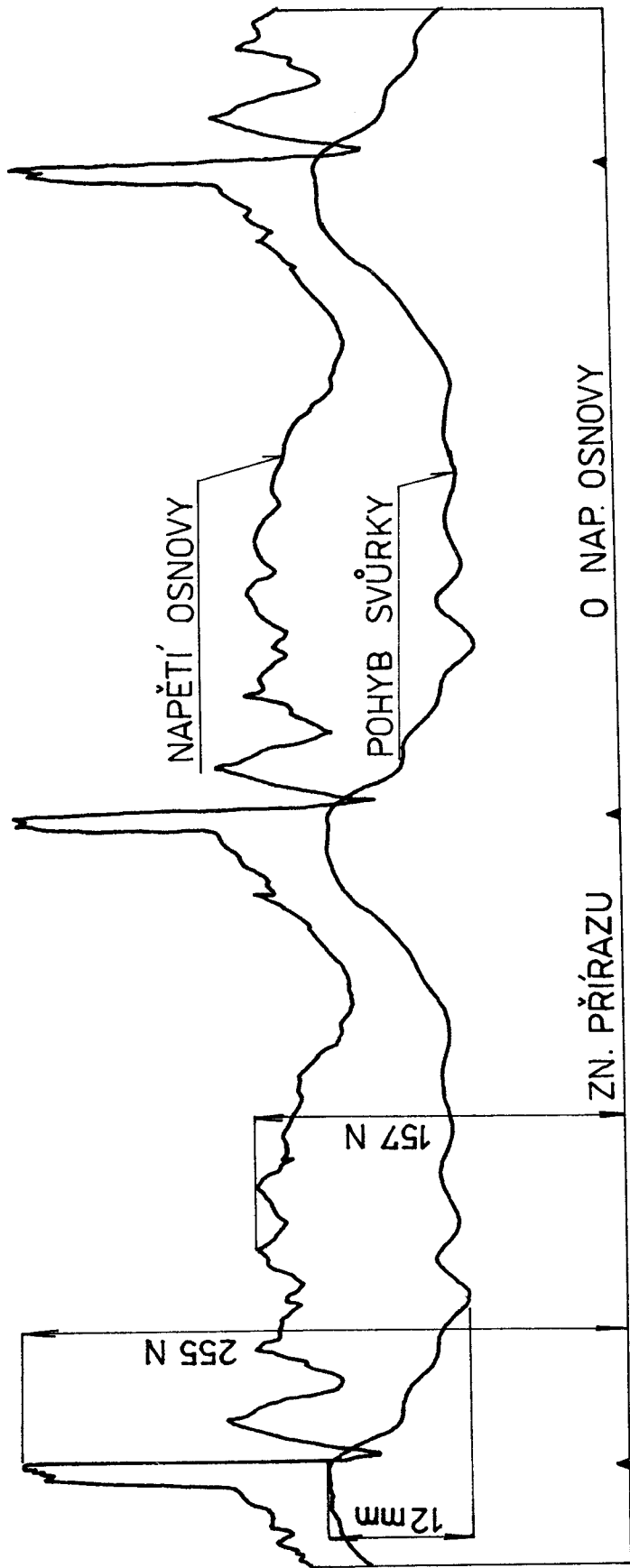


STAV SULZER 330, n=230 1/min, SVŮRKÁ BRZDĚNÁ
dostava = 21/cm



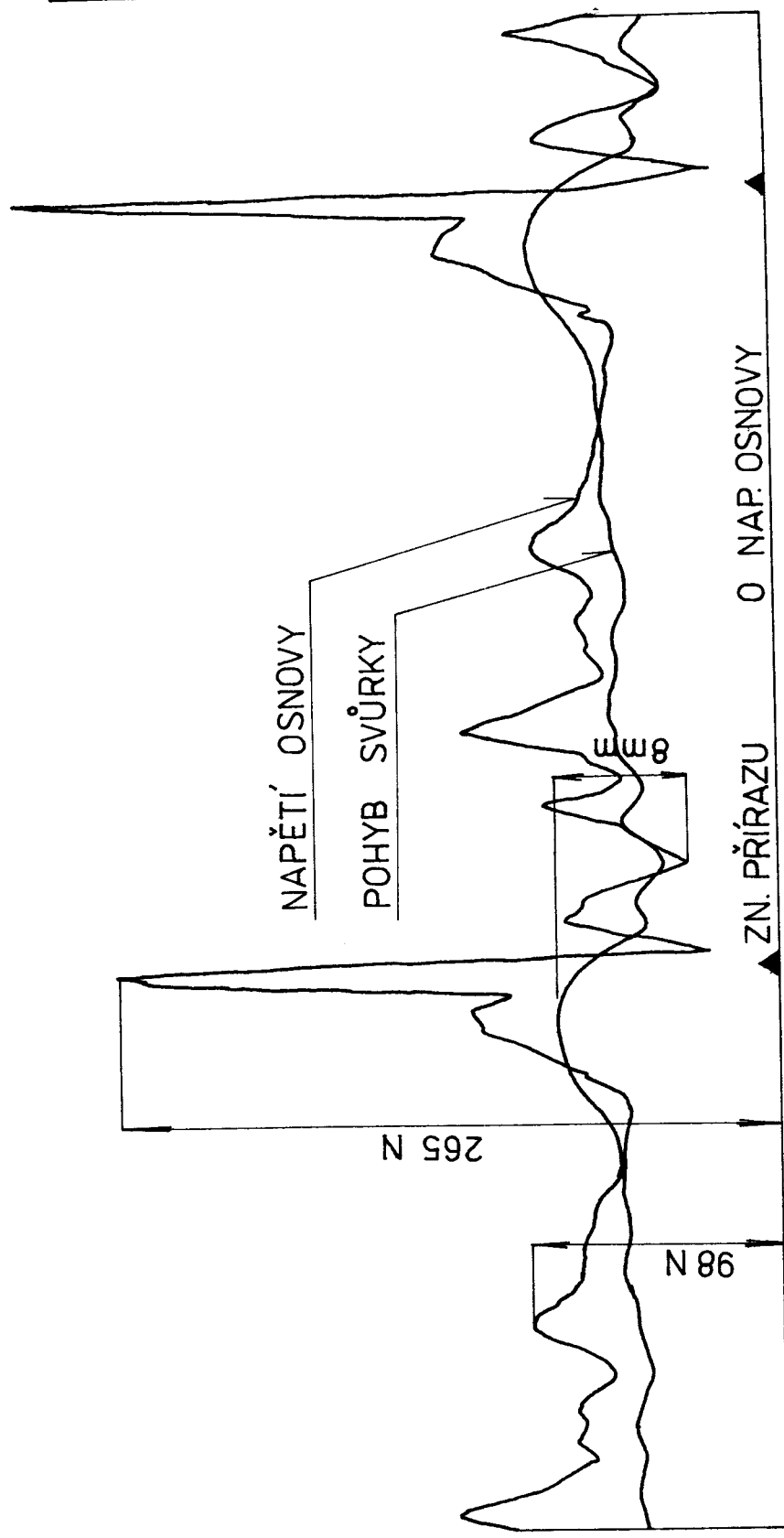
GRAF III

STAV SULZER 330, n = 230 ot/min, SVŮRKÁ BRZDĚNÁ
dostava 18/cm

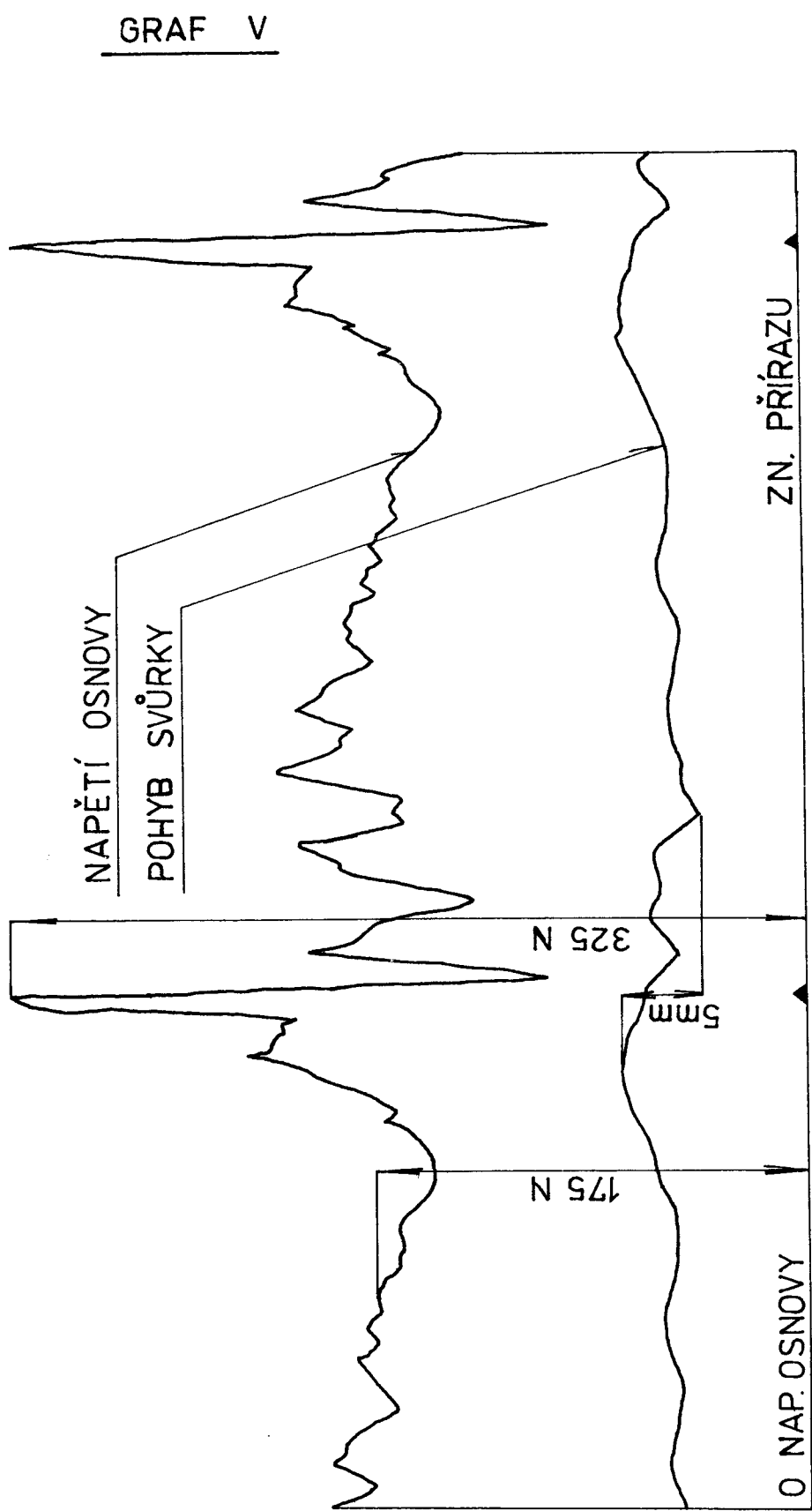


GRAF IV

STAV STB 2 - 330, n = 192 ot/min, SVŮRKÁ BRZDĚNÁ - PRUŽINA V POL. III
dostava 17/ cm

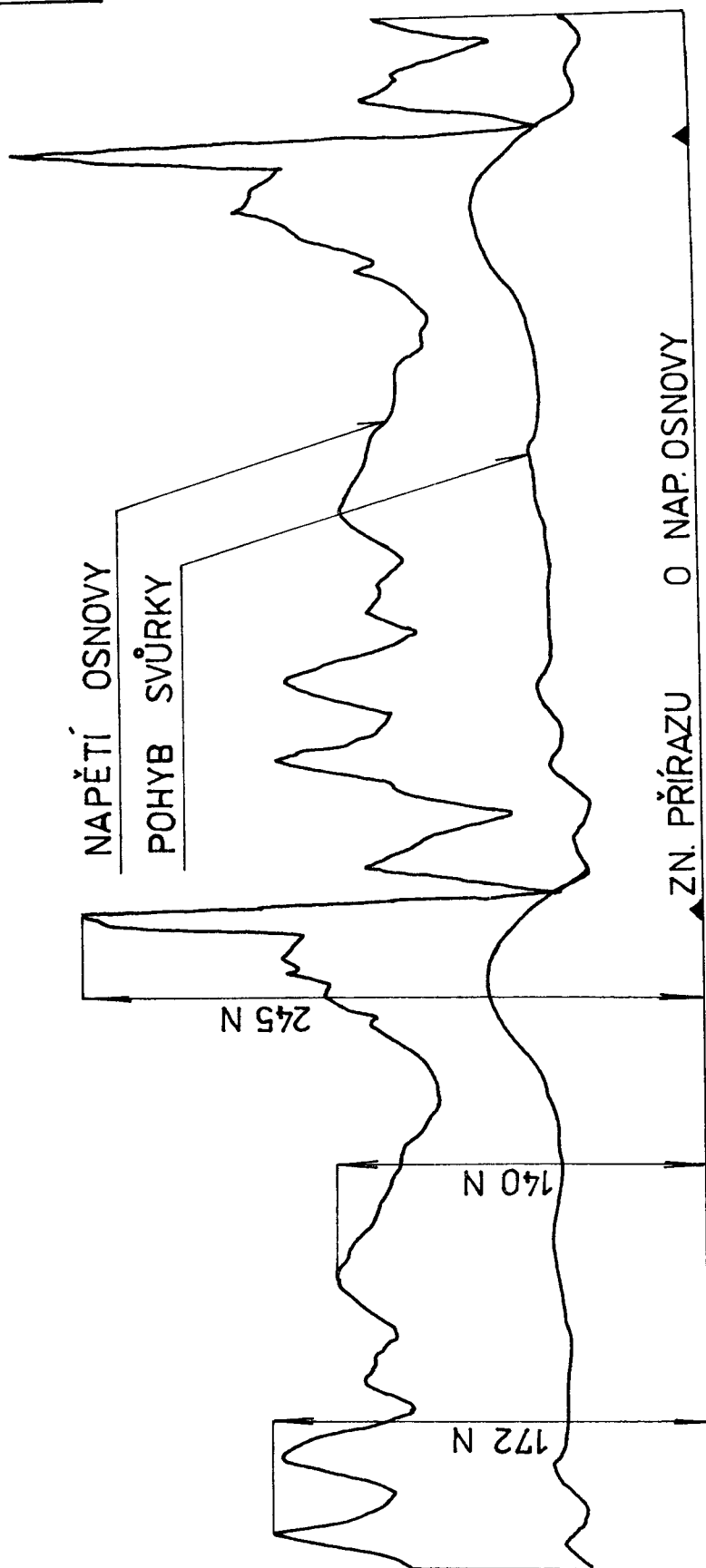


STAV STB 2 - 330, n = 192 ot/min, SVŮRKÁ BRZDĚNÁ - PRUŽINA V POL. I
dostava 17/cm



STAV STB 2 - 330, n = 192 ot/min, SVŮRKÁ BRZDĚNÁ - PRUŽINA V POL. II
dosťava 17/cm

GRAF VI



3. Závěr

I když ze získaných výsledků nelze učinit jednoznačné závěry, je vidět zcela odlišné chování svůrky stroje SULZER a STB.

Porovnání svůrkových systémů pomocí předloženého matematického modelu je zřejmě možné. V průběhu práce se však projevily problémy vyplývající z toho, že použitá měření nebyla prováděna pro tento druh využití. Bylo by zřejmě nutné provést speciální měření.

Jako nedostatek se ukázala skutečnost, že byla k dispozici pouze 1 otáčka stroje při každém nastavení. Případné náhodné vlivy, které jsou v ní zachyceny se pak přenáší do hodnocení a zkreslují je.

Správnější by bylo vyhodnotit Cross - spektrum vstupního a výstupního signálu (napětí osnov a pohyb svůrky) a z něho vyhodnotit přímo přenosovou charakteristiku. Pro tuto formu zpracování však nebyly v době řešení diplomové práce k dispozici měření ani programy.

oužitá literatura:

L. Püst - M. Lada

Pružné ukládání strojů - SNTL Praha 1965 (1)

O. Talavášek - V. Svatý

Bezčlunkové stavy - SNTL Praha 1975 (2)

Doc. ing. Jaroslav Charvát CSc

Mechanika II-Dynamika-skripta VŠST Liberec (3)

K. Kafka

**Rozbor osnovních regulátorů - DP VŠST
Liberec 1980 (4)**